

Goms 5

14 / 11 / 2022

II. Construction d'objets holomorphes  
sur les surfaces de R.

II. 1 Théorème d'uniformisation et applications.

Thm  $\Rightarrow$  une surface de R. simplement connexe. Alors  $\mathcal{S}$  est holomorphe à  $\mathbb{C}$ ,  
 $\mathcal{D}$ , ou  $\bar{\mathcal{C}} = \mathbb{C} \cup \{\infty\}$

La théorie des revêtements "permet" de classer  
toutes les surfaces de R.

## revêtement universel

Si une surface de R. admet un revêtement universel (en localement  $S^1$  est homéomorphe à un disque contractile).

$\hat{S}$  = revêtement universel de  $S^1$ .

$\pi : \hat{S} \rightarrow S^1$  continue, revêtement

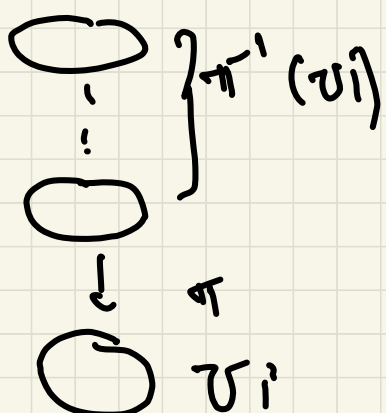
$\exists (U_i)_{i \in I}$  revêtement ouvert de  $S^1$ ,  
et un ensemble disjoint  $f_i$ , homéo

$$\forall i, \pi^{-1}(U_i) \rightarrow U_i \times F$$

$$\pi^{-1}(U_i) \xrightarrow{\cong} U_i \times F$$

$$\pi \downarrow \circ \downarrow p_i$$

$$U_i \qquad \qquad \qquad U_i$$



de plus  $\hat{S}$  est simplement connexe.

Prop.  $\hat{S}$  est muni d'une unique

structure de surface de R. Il existe une  
 $\pi: \hat{S} \rightarrow S$  holomorphe.

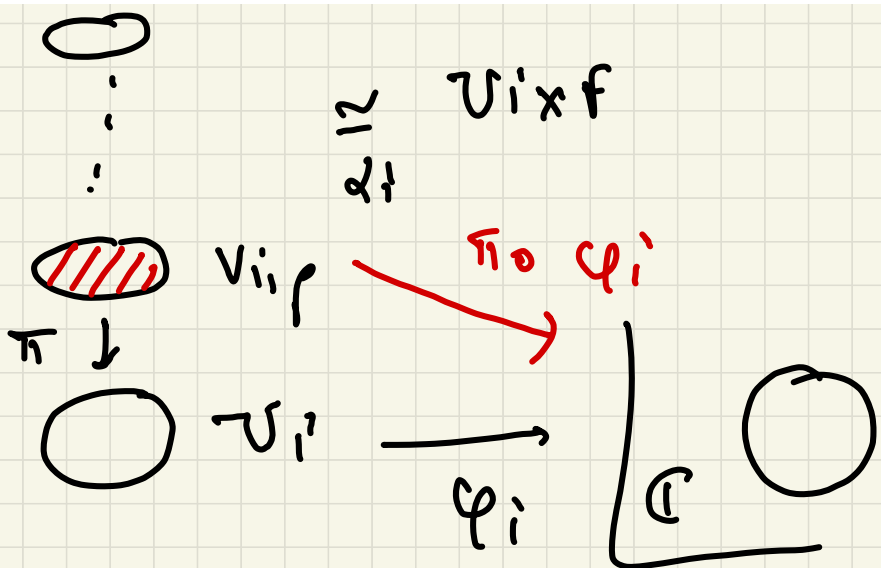
démonstration qu'il suffit de réduire à  $V_i$

on peut supposer  $\{(V_i, \varphi_i)\}_{i \in I} = \Theta$  est un  
atlas hol. sur  $S$ , et  $\varphi_i(V_i) = D$

On construit un atlas sur  $\hat{S}$

$$\hat{\Theta} = \{(V_{i,p}, f_{i,p})\}_{i \in I, p \in F}$$

$$V_{i,p} = \varphi_i^{-1}(V_i \times \{p\}) \quad f_{i,p} = \varphi_i \circ \pi$$



flip homeo on  $\mathbb{C}$  always!

$$\varphi_{i,p} \circ \varphi_{j,q}^{-1} = \varphi_i \circ \pi_1 \circ \pi_2^{-1} \circ \varphi_j^{-1}$$

$\varphi_{i,p} \circ \varphi_{j,q}^{-1}$

$\pi: V_{j,q} \xrightarrow{\text{homeo}} V_j$

$(\varphi_i \circ \varphi_j^{-1})$

hol.

11

Thm

$\hat{S}$  surface de R. complexe

$\pi : \hat{S} \rightarrow S$  revêtement universel (hol.)

On est dans l'un des trois cas suivants:

①  $\hat{S} = \mathbb{C} \cup \{\infty\}$  et  $\pi$  est un bihol.

②  $\hat{S} = \mathbb{C}$ ,  $S$  est biholomorphe à  
 $\mathbb{C}, \mathbb{C}^*, \mathbb{C}/\Lambda$  (combe elliptique)

③  $\hat{S} = \mathbb{H}$  (ou  $\mathbb{D}$ ). Il existe un  
groupe  $G$  de  $PSL(\mathbb{E}, \mathbb{R})$  agissant proprement  
d'abondinement sans point fixe sur  $\mathbb{H}, \mathbb{D}$

$$S \cong \mathbb{H}/G$$

## Terminologie

- une surface de R.  $\mathcal{S}$  telle que  $\hat{\mathcal{S}} = \mathbb{H}$   
est dite **hyperbolique**
- dans ce cas,  $G$  est un sous-groupe  
doux de  $PSL(\mathbb{E}, \mathbb{R})$

**démonstration (du thm)**

application directe de la théorie des  
résements.

$\pi : \hat{\mathcal{S}} \rightarrow \mathcal{S}$  revêtement universel,  $\pi$  hol.  
 $\mathcal{G} = \Gamma \cup \{\infty\}$  sur  $\mathbb{C}$  ou  $\mathbb{H}$ .

$\text{Aut}(\pi) = \{g : \hat{\mathcal{S}} \rightarrow \hat{\mathcal{S}} \text{ homéomorphisme}$   
 $\pi \circ g < \pi\}$ .

Lemma:  $\text{aut}(\pi)$  est un sous-groupe

du groupe des bihol. de  $\widehat{S}$  qui agit  
proprement discontinument sur  $\widehat{S}$  sans point

fixe et  $\widehat{S} \xrightarrow{\pi} S$   
hol.  $\downarrow \widehat{S} / \text{aut}(\pi) \curvearrowright \mathbb{C}$   
l'est un  
biholomorphisme.  
surface de R.

$$\rightsquigarrow \text{si } \widehat{S} = \widehat{\mathbb{C}} = \mathbb{C} \cup \{\infty\} \quad \pi: \widehat{S} \rightarrow S.$$

$$\text{aut}(\pi) \subseteq \text{bihol.}(\widehat{\mathbb{C}}) \subset \text{PGL}(\mathbb{C}, \mathbb{C})$$

$$= \left\{ t \mapsto \frac{az+b}{cz+d}, ad-bc = 1 \right\}$$

on trouve que  $\in \text{PGL}(\mathbb{C}, \mathbb{C})$

peut-être toujours un point fixe dans  $\widehat{\mathbb{C}}$ .

$$z = \frac{az+b}{cz+d}$$

$$c=0 \quad a=1$$

$$g(z) = z + \frac{b}{d}$$

$$g(\infty) = \infty !$$

$$\Rightarrow \text{aut}(\pi) = \{\text{Id}\}$$

$$\Rightarrow S \cong \mathbb{P}/\{\text{Id}\} \cong \widehat{\mathbb{C}} \quad //$$

$$\rightsquigarrow \text{in } \widehat{\mathbb{C}} = \mathbb{C} \quad \text{aut}(\pi) \subseteq \text{Aff}(\mathbb{C})$$

$$= \left\{ z \mapsto az + b \right\}.$$

$g(z) = az + b \quad a \neq 1$ , also  $g$  fixe

Non point fixe. -  $\frac{b}{a-1}$ .

$$\text{aut}(\pi) \subseteq \{z \mapsto az + b\} \cong (\mathbb{C}, +)$$

auj' prochainement discontinuité  $\Rightarrow$  discut

$\text{aut}(\pi)$  sous-groupe direct de  $(\mathbb{C}, +)$

$$= \{id\} \quad S = \widehat{\mathbb{S}} / \{id\} \cong \mathbb{C}$$

$$\cong \mathbb{Z} \text{ rang } 1 \quad S = \widehat{\mathbb{S}} / \{z \mapsto z+b\} \cong \mathbb{C}^\times$$

$\exp\left(\frac{2\pi i}{b}\cdot\right)$

$$\cong \mathbb{Z}^2 \text{ rang } 2 \quad S = \widehat{\mathbb{S}} / \Lambda \text{ résonante elliptique}$$

$$\leadsto \widehat{\mathbb{S}} \subset \mathbb{H} \quad \text{aut}(\pi) \subseteq \text{PSL}(2, \mathbb{R})$$

$\mathbb{H}_m$

discret, sans point fixe dans  $\mathbb{H}$ .

**obs:** plus d'examples !!!

## démonstration du lemme

$\text{aut}(\pi) = \{g : \hat{S} \rightarrow \hat{S} \mid g \circ \pi = \pi\}$  agit

par composition - décentrément sans point fixe.

$$\left. \begin{array}{c} \text{---} \\ | \\ \vdots \\ | \\ \text{---} \end{array} \right\} \quad \begin{array}{l} \pi^{-1}(v) \subseteq U \times F \\ g \in \text{aut}(\pi) \end{array}$$

$\cdot g(\pi^{-1}(v)) = \pi^{-1}(v)$

$$\begin{array}{c} \text{---} \\ | \\ \vdots \\ | \\ \text{---} \end{array} \quad \begin{array}{l} \downarrow \pi \\ \text{---} \\ \text{---} \end{array} \quad \begin{array}{l} \cdot g|_{\pi^{-1}(v)} \\ g(z, p) = (z, \sigma(p)) \\ \uparrow \quad \uparrow \\ U \quad F \\ \text{comme } \sigma : F \rightarrow F \text{ bijection} \end{array}$$

$$\{u \in \hat{S}, g(x) = x\} = \text{Période} \\ = \text{orbite}.$$

par convexité  $\{g = \text{id}\} \subsetneq \{u \in \hat{S}$

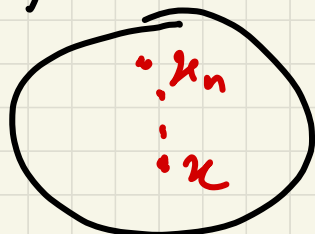
and (iii) agit prémisse du continuant.

par contradiction  $\{g, g.K \cap K \neq \emptyset\}$  est  
unifini

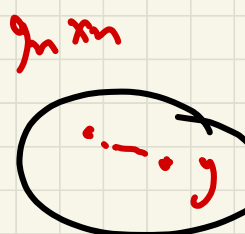
$$x_m \in \pi^{-1}(v) \quad x_m \rightarrow x \in \pi^{-1}(v)$$

$$g_m, x_m \in K \quad g_m \cdot x_m \rightarrow y .$$

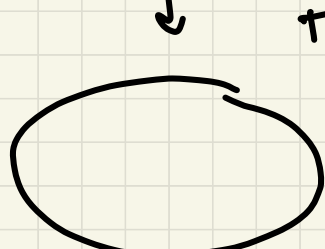
$$g_n \neq g_m$$



$$\pi^{-1}(v \setminus \{p\})$$



$$\pi^{-1}(v \setminus \{q\})$$



$$\text{puis } n \gg 0$$

$$\begin{aligned} & \pi \\ & v \\ & q_m \circ g_m \cdot x_m = x_m \\ \Rightarrow & q_m = g_m . \end{aligned}$$

•  $\text{ant}(\pi')$  agit transitivement sur  $\pi'^{-1}(p)$ .

$$(\hat{S}/\text{ant}(\pi) \cong \hat{S}')$$

$\vdots$   $x' \in \pi'^{-1}(U \times \{p\})$  en ombre  $g \in \text{ant}(\pi)$

$$\text{Ag } g(x) = x'$$

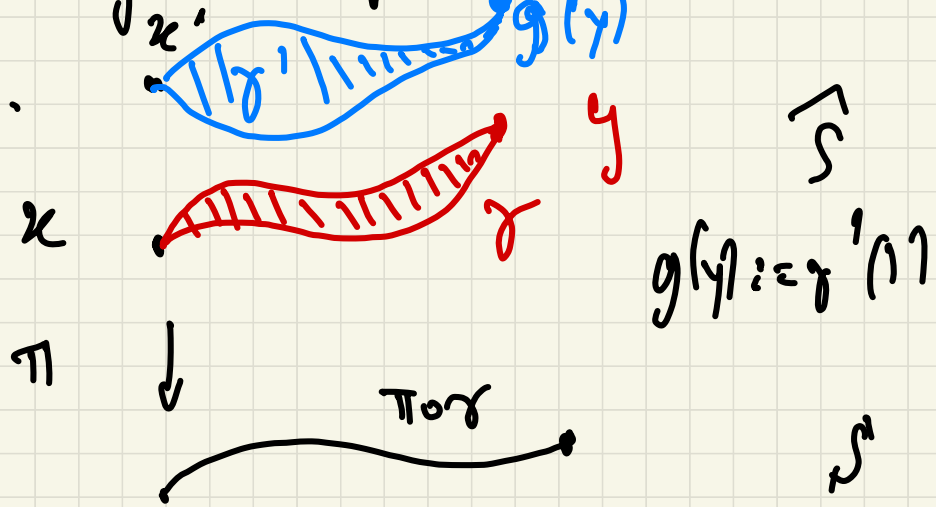
$\boxed{\text{U}}_{x'} \subset (U \times \{p\})$  en pos  $g|_{\pi'^{-1}(U \times \{p\})}$

$$\downarrow \pi$$

$\boxed{\text{U}}$   $U$  connexe

$$g(z,p) = (z,g)$$

On étend  $g$  à  $\hat{S}'$  par relèvement des  
chamins.



$$\exists ! \gamma' : [0,1] \rightarrow \overset{\wedge}{\mathbb{S}} \text{ ag}$$

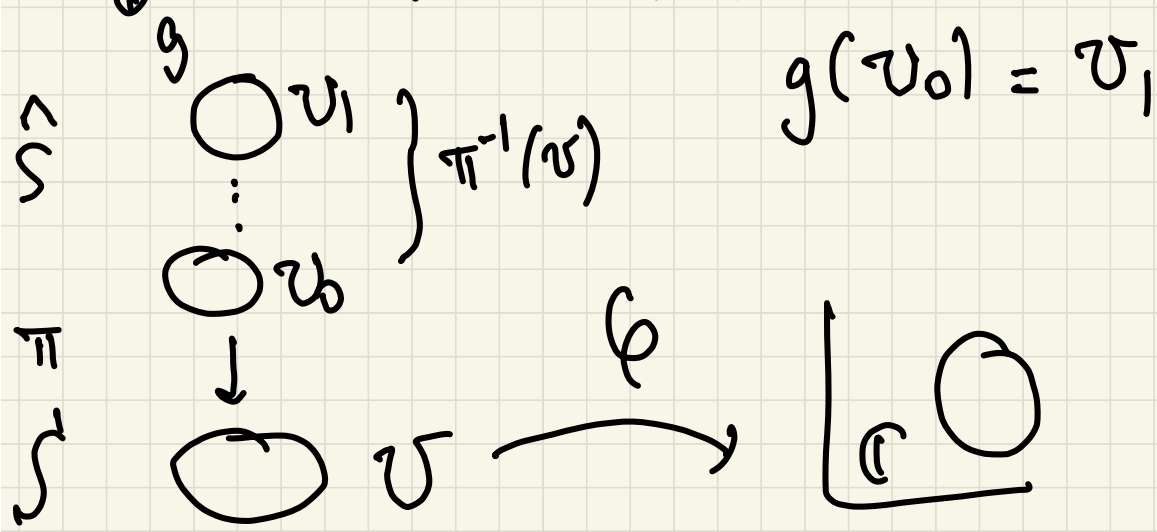
$$\left| \begin{array}{l} \gamma'(0) = x' \\ \gamma'(1) = c^0 \\ \pi_0 \gamma' = \pi_0 \gamma \end{array} \right.$$

(thus de relèvement)

On ait  $g : \overset{\wedge}{\mathbb{S}} \rightarrow \overset{\wedge}{\mathbb{S}}$  homeomorphisme

$$\pi_0 g = \pi_1 \quad g(x) = x'.$$

•  $\omega_g(\pi)$  agit holomorphiquement sur  $\overset{\wedge}{\mathbb{S}}$ .



$$(U_0, \varphi_0)$$

$$\varphi_0 = \varphi \circ \pi$$

$$(U_1, \varphi_1)$$

$$\varphi_1 = \varphi \circ \pi$$

on regarde  $g: U_0 \rightarrow U_1$  à travers

ses deux sortes

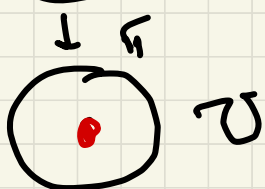
$$\varphi_1 \circ g \circ \varphi_0^{-1} = \varphi_0 \pi \circ g \circ \pi^{-1} |_{U_0} \circ \varphi^{-1}$$



$$\pi \circ g = \pi$$



$$= \varphi_0 \pi \circ \pi^{-1} |_{U_0} \circ \varphi^{-1}$$



$$= \varphi_0 \circ \varphi^{-1} = \text{id}$$

fol.

///

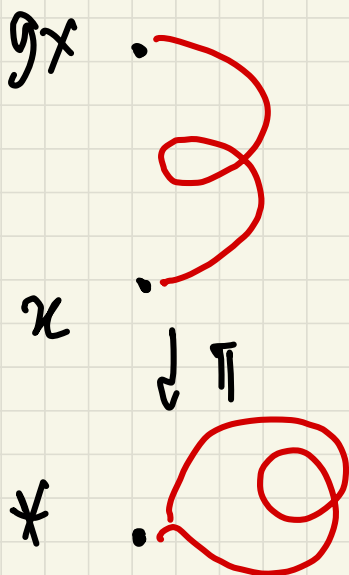
Nbr d'arcs fermés :

- $\text{arcs}(\pi) \cong \pi_1(\mathcal{J}, z_0) \quad z_0 \in \mathcal{J}$ .

$$+ x \in \pi^{-1}(p) \quad g \in \text{arcs}(\pi) \quad \begin{matrix} \gamma(0) = x \\ \gamma(1) = g \cdot x \end{matrix}$$

$\downarrow$

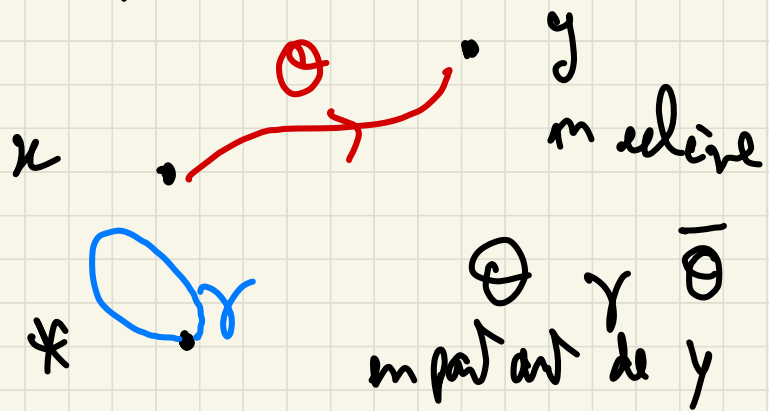
$$[\pi \circ g] \in \pi_1(\mathcal{J}, z_0)$$



$$+ \gamma : [0, 1] \rightarrow \mathcal{J}$$

$$\gamma(0) = \gamma(1) = p$$

$\gamma \in \widehat{\mathcal{S}}$



on pose  $(\gamma) \cdot \gamma = \text{relévé de } \theta \circ \bar{\theta} \text{ en } \mathbb{S}$ .

///

Road map to uniformization.

$\mathbb{S}'$  n'implante comme une compacte

$$\hookrightarrow \simeq \mathbb{C} \text{ sur } D$$

on choisit une fonction hol.  $f: \mathbb{S}' \rightarrow \mathbb{C}$   
(rigide)

injective.

- on construit des fonctions harmoniques

$\text{ex} \quad h = \operatorname{Re}(f) \quad f \text{ hol.}$

- pour cela on manipule les fonctions

non-harmoniques (couples)

$\text{ex} \quad \max(|f_1|, |f_2|) \quad f_1, f_2 \text{ hol.}$

procédé qui permet de construire des fonctions harmoniques à partir de fonctions sous-harmoniques = principe de balayage de Perron pour répondre le problème de Dirichlet.

### plan

- harmonique
- sous harmonique
- problème de Dirichlet
- fonctions de Green
- thm clif construction de fonctions harmoniques
- démonstration

## Exercícios

$$\begin{array}{ccc}
 \mathbb{C} \xrightarrow{\quad f \quad} \mathbb{C}^X & & m, n \in \mathbb{Z} \\
 \pi_1 \downarrow \quad e^{2\pi i \cdot z} & & \downarrow \pi_2 \quad e^{2\pi i \omega} = q \\
 \mathbb{C}/\mathbb{Z} + \mathbb{Z}\omega & \xrightarrow{? \quad \phi} & \mathbb{C}^X / \langle \rho \rangle \quad \omega \text{ qualquer}
 \end{array}$$

$$\pi_2 \circ (z + m + n\omega)$$

$$= \pi_2 \circ \exp(2\pi i (z + m\omega))$$

$$= \pi_2 (\exp 2\pi i z \times q) = \pi_2 \circ (z)$$

$\pi_2 \circ f$  é  $\mathbb{Z} + \mathbb{Z}\omega$ -equivariante

$\Rightarrow \exists \phi$  hol. injetiva e surjetiva!

///

## exercice 6.

$f \in \mathbb{C}[x]$  degré  $d \geq 1$

pas de racine multiple

$$\bullet X = \{ z^d = f(w) \} \subseteq \mathbb{C}^2$$

surface de R. pour laquelle

$$\pi_1(z, w) = z \quad \pi_2(z, w) = w$$

$$\pi_1, \pi_2 : X \rightarrow \mathbb{C} \text{ sont lols.}$$

$$Q(z, w) = z^d - f(w)$$

par le cours, il faut vérifier que

$$\left\{ Q = \frac{\partial Q}{\partial w} = \frac{\partial Q}{\partial z} = 0 \right\} = \emptyset.$$

$$Q \subset g^L - P(\omega)$$

$$\frac{\partial Q}{\partial z} = g_z \quad \frac{\partial Q}{\partial w} = -g'_z(w)$$

$$\left\{ Q = \frac{\partial Q}{\partial w} \subset \frac{\partial Q}{\partial z} = 0 \right\} \ni (z, w)$$

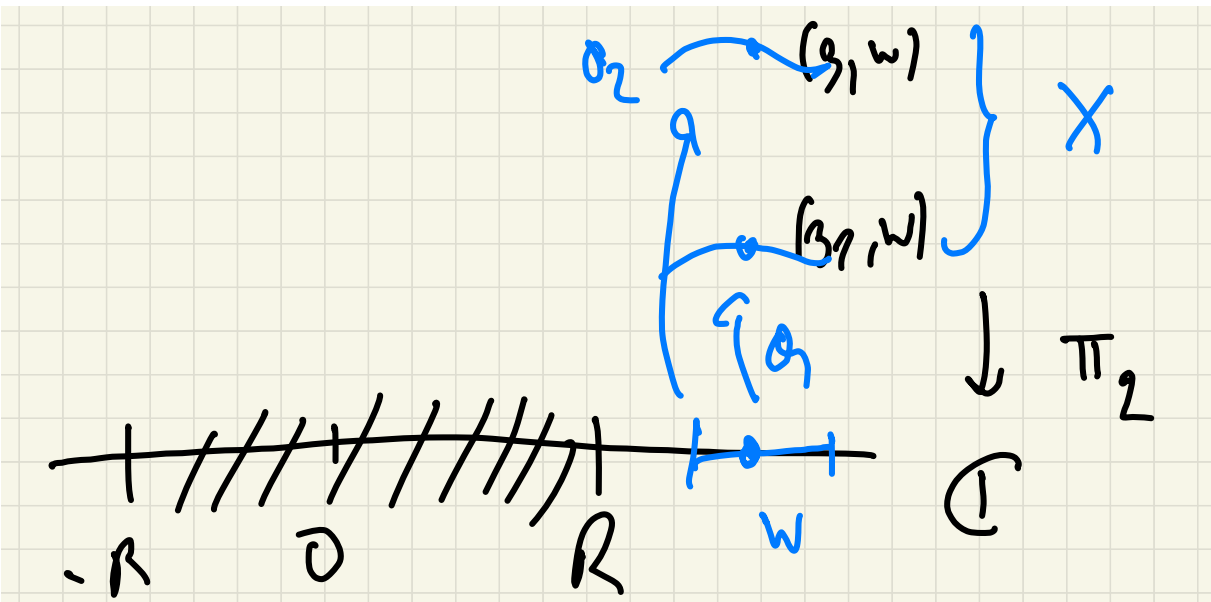
$$\begin{cases} g(z) = g^L \\ g'_z = 0 \\ \therefore g'(w) = 0 \end{cases} \Rightarrow g(w) = 0 = g'(w)$$

impossible.

$R \gg 1$

$$X \cap \{|w| > R\} \xrightarrow{\pi_2} \{|w| > R\}$$

revêtement de degré 2 connexe sur  
d'ord path.



$$\{ \zeta'(\omega=0) \} \cup \{ \zeta(\omega=0) \} \subseteq D(0, R)$$

$$\begin{cases} \zeta_1 = f(w) & |w| > R \\ \zeta_2 = f(w) & \zeta_1 = -\zeta_2 \end{cases}$$

au voisinage de  $(z_1, \omega)$ , TF I analytique nous dit que  $X \cap \mathcal{V}(z_1, \omega) = \text{graphe au dessus de } C \text{ car } \left( \frac{\partial \Phi}{\partial \omega} (z_1, \omega) \neq 0 \right)$

TF I analogique à

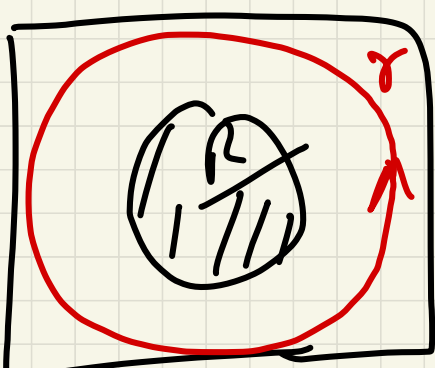
$$\pi_2^{-1}(D(w, r)) = \left\{ (\theta_1(w), w) \right\} \cup \\ \left\{ (\theta_2(w), w) \right\}$$

avec  $\theta_1, \theta_2$  analogiques.

$$\rightarrow \pi_2 : X \cap \{ |w| > r \} \rightarrow \{ |w| > r \}$$

réseau d'onde  $\mathcal{E}$ .

Connexité :



$$\gamma(t) = R e^{i \omega t} \quad t \in [0, 1]$$

on arrive à  $X$

$$\hat{\gamma} : C^1([0, 1]) \rightarrow X$$
$$\pi_2(\hat{\gamma}) = \gamma$$

$$f(t) = (e(t), w(t))$$

$$\pi_2 \circ f = g \quad w(t) = R^t e^{i\pi t}$$

$$g(t) = \varphi(w(t))$$

$$g(t) = a \left( R^t e^{i\pi t} \right)^d \left( 1 + o\left(\frac{1}{R^t}\right) \right)$$

$$g = aw^d \left( 1 + o(1) \right)$$

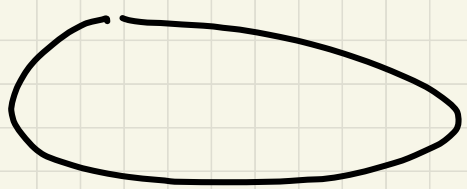
$$D(1,1)$$

$$g(t) \text{ at } t=0$$

$$\Rightarrow g(t) = a \left( R^t \right)^d e^{\frac{i\pi d}{2}} \sqrt{1 + o\left(\frac{1}{R^t}\right)}$$

$$g(1) = g(0) \Leftrightarrow \text{evenement non complexe.}$$

$\Rightarrow$



↓  $\pi$

A black arrow pointing downwards from the top oval towards a red circle below it, with the Greek letter  $\pi$  written next to the arrow.